

УДК 539.3

В.Ф. Мейш, Н.В. Арнаута

**ВИМУШЕНІ КОЛИВАННЯ П’ЯТИШАРОВИХ КОНІЧНИХ  
ОБОЛОНОК З ВРАХУВАННЯМ ДИСКРЕТНОСТІ РОЗМІЩЕННЯ  
РЕБЕР ПРИ НЕСТАЦІОНАРНИХ НАВАНТАЖЕННЯХ**

**Вступ.** Нестаціонарні коливання неоднорідних по товщині оболонкових конструкцій розглядалися багатьма авторами. Зокрема, ґрунтовний огляд літератури з даного питання викладений в роботі [1]. Значний внесок в вивчені даної проблеми зробили автори монографії [2]. Нелінійні осесиметричні коливання тришарових оболонок обертання при імпульсних навантаженнях розглянуто в роботі [3], де розрахункова схема приймається з врахуванням незалежних кінематичних і статичних апроксимацій до кожного шару. Тришарові оболонки обертання з врахуванням дискретності ребристого наповнювача при нестаціонарних навантаженнях розглянуто в [4]. Вивчення нестаціонарних коливань п’ятишарових циліндричних оболонок обертання з врахуванням впливу дискретності ребер приведено в роботі [5].

В даній роботі розглядається постановка задачі нестаціонарної поведінки п’ятишарових конічних оболонок з врахуванням дискретності розміщення ребер, побудова чисельного алгоритму із застосуванням апроксимацій типу Річардсона та розв’язування вказаних задач і аналіз отриманих результатів.

**Постановка задачі.** Дискретно-неоднорідна по товщині пружна структура конічного типу являє собою систему, що складається з багатошарової підкріпленої конічної оболонки з врахуванням дискретності ребер. Вважається, що багатошарова підкріплена конічна конструкція навантажена внутрішнім розподіленим нестаціонарним нормальним навантаженням  $P_3(s, t)$ , де  $s$  і  $t$  – просторова і часова координати.

При розгляді осесиметричних коливань конічних оболонок звичайно використовується система координат  $s, t$ , причому координата  $s$  відраховується від вершини конуса. В деяких випадках, зокрема для зрізаних конічних оболонок, більш зручним є

використання координати  $S_1$ , де координата  $S_1$  відраховується від краю оболонки.

Коефіцієнти першої квадратичної форми і кривизни координатної поверхні записуються наступним чином:

$$A_1 = 1, \quad A_2 = R_s, \quad k_1 = 0, \quad k_2 = \cos \alpha / R_s,$$

де  $\alpha$  – кут конусності;  $s_1$  – текуча координата;  $R_s = R_0 + s_1 \sin \alpha$ .

За допомогою варіаційного принципу Рейсснера для динамічних процесів отримано наступні системи рівнянь:

в гладкій області

$$\begin{aligned} \frac{1}{R} \frac{\partial}{\partial s_1} (RT_{11}) - \frac{\sin \alpha}{R_s} T_{22} &= \rho h \frac{\partial^2 u_1}{\partial t^2}, \\ \frac{1}{R} \frac{\partial}{\partial s_1} (R\bar{T}_{13}) - \frac{\cos \alpha}{R_s} T_{22} + P_3(s_1, t) &= \rho h \frac{\partial^2 u_3}{\partial t^2}, \\ \frac{1}{R} \frac{\partial}{\partial s_1} (RM_{11}) - \frac{\sin \alpha}{R_s} M_{22} - T_{13} &= \frac{\rho h^3}{12} \frac{\partial^2 \varphi_1}{\partial t^2}. \end{aligned} \quad (1)$$

Співвідношення між величинами зусиль-моментів та відповідними величинами деформацій мають вигляд

$$\begin{aligned} (T_{11}, T_{22}, T_{13}) &= \sum_k \int_z (\sigma_{11}^{kz}, \sigma_{22}^{kz}, \sigma_{13}^{kz}) dz; \\ (M_{11}^*, M_{22}^*) &= \sum_k \int_z (z\sigma_{11}^{kz}, z\sigma_{22}^{kz}) dz; \\ (M_{11}, M_{22}) &= (M_{11}^*, M_{22}^*) \pm h_{ck} (T_{11}, T_{22}); \\ \bar{T}_{13} &= T_{13} + T_{11}\theta_1; \\ I_1 &= \sum_k \rho_k h_k; \quad I_2 = \sum_k \pm \rho_k h_k h_{ck}; \quad I_3 = \sum_k \rho_k \frac{h_k^3}{12}; \end{aligned} \quad (2)$$

Співвідношення між величинами деформацій та величинами узагальнених векторів переміщень записуються у вигляді:

$$\begin{aligned} \varepsilon_{11}^k &= \frac{\partial u_1^k}{\partial s_1} + \frac{1}{2} [\theta_1^k]^2, \\ \varepsilon_{22}^k &= \frac{\sin \alpha}{R_s} u_1^k + \frac{\cos \alpha}{R_s}, \quad \varepsilon_{13}^k = \varphi_1^k + \frac{\partial u_3^k}{\partial s_1}, \\ \theta_1^k &= \frac{\partial u_3^k}{\partial s_1}, \quad \kappa_{11}^k = \frac{\partial \varphi_1^k}{\partial s_1}, \quad \kappa_{22}^k = \frac{\sin \alpha}{R_s} \varphi_1^k. \end{aligned} \quad (3)$$

На лініях розривів рівняння коливань записуються у вигляді

$$\begin{aligned} \sum_{i=1}^2 T_{11}^{i\pm} &= \rho_j F_j \frac{\partial^2 u_{1j}}{\partial t^2}, \quad \sum_{i=1}^2 \bar{T}_{13}^{i\pm} = \rho_j F_j \frac{\partial^2 u_{3j}}{\partial t^2}, \\ \sum_{i=1}^2 (M_{11}^{i\pm} \mp h_j T_{11}^{i\pm}) &= \rho_j I_{kpj} \frac{\partial^2 \varphi_{1j}}{\partial t^2}. \end{aligned} \quad (4)$$

В рівняннях (4.14) величини  $T_{11}^{i\pm}, \bar{T}_{13}^{i\pm} = T_{11}^{i\pm} + \theta_{11}^{i\pm}, M_{11}^{i\pm}$  ( $i = 1, 2$ ) відповідають зусиллям–моментам, які діють на  $j$ -й дискретний елемент на лінії розриву  $s_1 = s_{1j}$ . Рівняння коливань (1)–(4) доповнюються відповідними граничними та початковими умовами.

**Чисельний алгоритм.** Для побудови чисельного алгоритму розв’язку нестационарних задач теорії неоднорідних багат шарових оболонок використовується інтегро-інтерполяційний метод побудови різницевої схем [6] для гіперболічних рівнянь. В силу вихідної постановки задач чисельний розв’язок шукається в гладкій області пружної структури (для багат шарової оболонки між ребрами) та на лініях розташування відповідних ребер.

Для побудови більш ефективних алгоритмів застосовується підхід, що базується на знаходженні наближених розв’язків по Річардсону [7]. Причому, при фіксованому різницевому кроку по часовій координаті, використовується послідовність наближених апроксимацій по просторовій координаті. При цьому, процедура екстраполяції формується згідно формул

$$\tilde{U}_{1(\Delta s)}^n = \frac{4}{3} \bar{U}_{1(\Delta s/2)}^n - \frac{1}{3} \bar{U}_{1(\Delta s)}^n, \quad (5)$$

де  $\bar{U}_{1(\Delta s/2)}^n$  і  $\bar{U}_{1(\Delta s)}^n$  - чисельні розв’язки рівнянь коливань відповідно з дискретними кроками по просторовій координаті  $\Delta s/2$  і  $\Delta s$ ,  $s = A_1 \alpha_1$ .

Неважко показати, що різницеві рівняння (5) апроксимують вихідні рівняння коливань (1) в гладкій області з четвертим порядком точності по координаті  $s$ .

**Результати розрахунків.** Як числовий приклад, розглядалася задача динамічного деформування п’ятишарової конічної оболонки з жорстко защемленими торцями під дією внутрішнього розподіленого навантаження  $P_3(s, t)$ . Граничні умови при  $s = s_0, s = s_N$  мають вигляд:  $u_1 = u_3 = \varphi_1 = 0$ .

Нестационарне імпульсне навантаження задавалося у вигляді

$$P_3(s_1, t) = A \cdot \sin \frac{\pi t}{T} [\eta(t) - \eta(t - T)],$$

де  $A$  - амплітуда навантаження,  $T$  - тривалість навантаження. В розрахунках покладалося  $A = 10^6$  Па;  $T = 50 \cdot 10^{-6}$  с. Розрахунки

проводились при наступних геометричних та фізико-механічних параметрах:

$$E_1^1 = E_1^3 = E_1^5 = E_j = 7 \cdot 10^{10} \text{ Па}; E_1^1 / E_1^{\text{зан}} = 10 \div 1000;$$

$$v_1^1 = v_1^3 = v_1^5 = 0,3; v_1^{\text{зан}} = 0,4;$$

$$\rho_1 = \rho_3 = \rho_5 = \rho_j = 2,7 \cdot 10^3 \text{ кг/м}^3; \rho_1 / \rho_{\text{зан}} = 7;$$

$$h = h_1 + h_2 + h_3 + h_4 + h_5; h_1 = h_3 = h_5 = 10^{-3} \text{ м}; h_2 = h_4; h_2 / h_1 = 3;$$

$$R_0 = 0,1 \text{ м}; h / h_j = 9/20; F_j = 10^{-4} \text{ м}^2; \alpha_1 = \pi/3; \alpha_2 = \pi/4; \alpha_3 = \pi/6$$

Дискретні підкріплюючі елементи розташовано в точках  $s_j = 0,25s_{Nj}$ ,  $j = \overline{1,3}$

Отримані чисельні результати дозволяють проводити аналіз напружено-деформованого стану п'ятишарової підкріпленої пружної структури конічного типу в будь який момент часу (розрахунки проводилися при  $0 \leq t \leq 40T$ ). Зокрема, на рис. 1 та рис. 2 приведено залежності величин  $u_3$  і напруження  $\sigma_{22}$  від просторової координати  $s$  в залежності від величини кутів конусності в момент часу  $t=4T$  і  $t=5,5T$ .

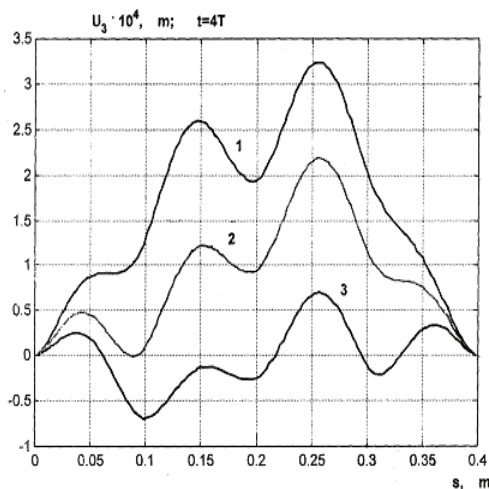


Рисунок 1 - Залежність величини  $U_3$  від просторової координати  $S$  в момент часу  $t=4T$

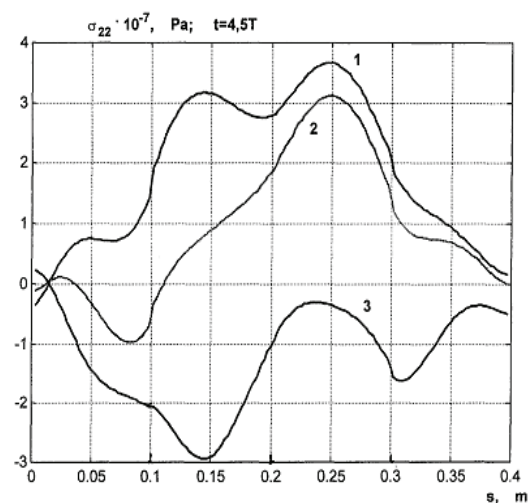


Рисунок 2 - Залежність величини  $\sigma_{22}$  від просторової координати  $S$  в момент часу  $t=4,5T$

Крива з індексом 1 відповідає куту конусності  $\alpha_1 = \pi/3$ ; крива з індексом 2 -  $\alpha_2 = \pi/4$ , крива з індексом 3 -  $\alpha_3 = \pi/6$ . Розглядається випадок  $E_1^1 / E_1^{\text{зан}} = 100$ . Виходячи з представленого графічного матеріалу можна візуально визначити вплив конусності структури на антисиметричність розподілу величин  $u_3$  і  $\sigma_{22}$  по просторовій

координаті (як частинний випадок, для циліндричної оболонки у випадку  $\alpha = 0$  спостерігається симетрична картина відносно осі  $s_1$  ).

#### ЛІТЕРАТУРА

1. Луговой П.З. Динамика тонкостенных конструкций при нестационарных нагрузках // Прикладная механика. – Т.37, №5. – 2001. – С.44-74.
2. Луговой П.З., Мейш В.Ф., Штанцель Э.А. Нестационарная динамика неоднородных оболочечных конструкций. – Киев: Издат. – полиграф. центр «Киевский университет», 2005. – 536с.
3. Шульга Н.А., Мейш В.Ф., Хамренко Ю.А. Нелинейные осесимметричные колебания трехслойных оболочек вращения при импульсных нагружениях // Теорет. и прикладная механика. 2001. Вып. 33. С. 159 – 163.
4. Мейш В.Ф., Штанцель С.Э. Решение динамических задач теории трехслойных оболочек вращения с дискретным наполнителем при нестационарных нагрузках // Прикладная механика. - №12. – Т.38, 2002. С. 103 – 110.
5. Мейш В.Ф., Кравченко Н.В. До розрахунку напружено-деформованого стану багатосферних оболонок з дискретними неоднорідностями при нестационарних навантаженнях // Вісник Київського університету. Серія Фіз. – мат. науки. - №3, 2002. С. 223 – 228.
6. Самарский А.А. Теория разностных схем. - М.: Наука, 1977. - 656 с.
7. Марчук Г.И. Методы вычислительной математики. – М.: Наука, 1977. – 454с.

Получено 03.05.2008 г.